



การเพิ่มความเข้มข้นของเอทานอลจากกระบวนการกลั่น

ด้วยรังสีอาทิตย์โดยใช้สารดูดซับ

Increase of Ethanol Concentration from Solar Distillation by an Adsorbent

จารุวัฒน์ เจริญจิต¹ จิรวรรณ เตียรัตน์สุวรรณ^{1*} กานดา วงศ์ไชยพิท² และ ปิยะ เสียงสุคนธ์¹

Jaruwat Jarean jit¹ Jirawan Tiansuwan^{1*} Kanda Wongwailikit² and Piya Siangsukone¹

¹สาขาวิชาเทคโนโลยีอุณหภพ คณะพลังงานสิ่งแวดล้อมและวัสดุ มหาวิทยาลัยเทคโนโลยีพระจอมเกล้าธนบุรี

กรุงเทพฯ 10140

²ภาควิชาเคมี คณะวิทยาศาสตร์ มหาวิทยาลัยรังสิต ปทุมธานี 12000

¹Division of Thermal Technology, School of Energy, Environment and Materials,
King Mongkut's University of Technology Thonburi, Bangkok 10140 Thailand

²Department of Chemistry, Faculty of Science, Rangsit University, Pathumtani 12000 Thailand

*Corresponding author: jirawan.tia@kmutt.ac.th

Telephone Number 02-470-86120, Fax. Number 02-427-9062

บทคัดย่อ

งานวิจัยนี้ เป็นการทดลองการเพิ่มความเข้มข้นเอทานอลโดยสารดูดซับ จากสารผสมเอทานอล-น้ำ ที่ได้จากการกระบวนการกลั่นเอทานอลด้วยรังสีอาทิตย์ สารดูดซับจะเป็นโมเลกุลาร์ซีฟ ชนิด 3A บรรจุในชั้นดูดซับ ซึ่งคิดตั้งระหว่าง ผิวนะ แสงและผิวโลกลั่นตัว ของถังเต็มกลั่นตันที่ มีลักษณะเช่นเดียวกับถังเต็มกลั่นจากภูมิปัญญาพื้นบ้าน ทั้งนี้กระบวนการในการเพิ่มความเข้มข้นเอทานอลจะเป็นแบบไม่ต่อเนื่อง ในแต่ละครั้งจะใช้สารละลายเอทานอลเริ่มต้นที่ความเข้มข้นต่างๆ โดยมีปริมาตร 10 ลิตร ความร้อนที่ใช้ในกระบวนการการมาจากการตัวเก็บรังสีอาทิตย์แบบแผ่นราบขนาด 2 ตารางเมตร การแยกเอทานอล จากสารผสมที่ความเข้มข้นต่างๆ จะถูกทดสอบ ผลการศึกษาพบว่าระบบสามารถกลั่นเอทานอลความเข้มข้น เริ่มต้นจาก 10, 32, 72 และ 84%v/v เพิ่มขึ้นเป็น 74.7, 89.4, 97 และ 96.3%v/v เทียบกับ 48.6, 72.3, 86.5 และ 89.7%v/v ตามลำดับ ของกรณีที่เป็นการต้มกลั่น โดยไม่มีสารดูดซับ

ABSTRACT

The present investigation was to increase ethanol concentration in ethanol-water vapor from a solar ethanol distillation by a 3A molecular sieve packed bed installed between evaporative and condensing sections of a 10 liter brewery tank. The brewery tank was designed similar to that of a local Thai Wisdom unit. The heating source came from a 2 m² flat plate solar collector. The study was carried out with a 10 liter batch of solution with various initial ethanol concentrations. From the experiments, it could be found that with the initial concentrations of 10, 32, 72 and 84%v/v, the output yields were 74.7, 89.4, 97 and 96.3%v/v compared with 48.6, 72.3, 86.5 and 89.7%v/v, respectively, from the system without the adsorbent.

1. บทนำ

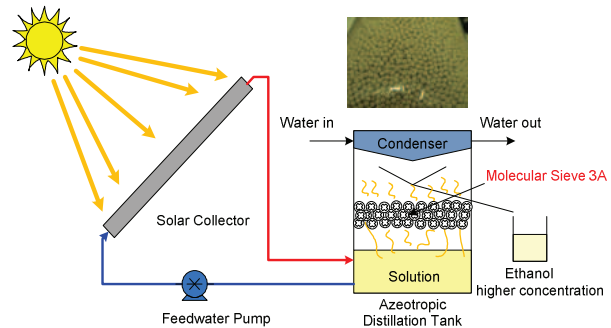
ปัจจุบันเอทานอลถูกนำมาใช้ในอุตสาหกรรมต่างๆ โดยเฉพาะอย่างยิ่งด้านเชื้อเพลิงสะอาด [1, 2] ในรูปแบบต่างๆ ทั้งทางตรงและทางอ้อม โดยกระบวนการการทำท้าไปในการผลิตเอทานอลเริ่มจากการหมักผลผลิตทางการเกษตร โดยมีความเข้มข้นเริ่มต้น 8-10% v/v [3] และนำไปสู่กระบวนการกรองลับลำดับส่วน เพื่อเพิ่มความเข้มข้น อย่างไรก็ตามเอทานอลที่สามารถนำมาร่วมกับน้ำมันชนิดอื่น เพื่อผลิตแก๊สโซเชลได้ จะต้องมีความเข้มข้นไม่ต่ำกว่า 99.5% v/v ซึ่งกระบวนการกรองลับลำดับส่วน จะกลับได้ที่ความเข้มข้นไม่เกิน 95% v/v

การเพิ่มความเข้มข้นเอทานอลจาก 95% v/v เป็น 99.5% v/v สามารถดำเนินการได้หลายวิธีได้แก่ การสกัดเอทานอลด้วยคาร์บอนไดออกไซด์ [4] การสกัดด้วยตัวทำละลาย [5, 6] กระบวนการดูดซับ [7-9] และกระบวนการเพอแปรพอร์เรชัน (pervaporation) [10-12] ในกระบวนการดูดซับ จากสมบัติของขนาดโมเลกุลและขั้วที่แตกต่างกันระหว่างเอทานอลและน้ำ [13] ส่งผลให้กระบวนการดูดซับค่อนข้างมีแนวโน้มที่จะลดการใช้พลังงานอย่างมีนัยสำคัญ [14] ในการดูดซับน้ำด้วยสารดูดซับที่ได้จากการชาติ เช่น แป้ง [15, 16] และสารดูดซับที่เกิดจากการสังเคราะห์ สำหรับชนิดหลัง โมเลกุลาร์ซีฟซึ่งเป็นสารประเภทซีโลอลต์สังเคราะห์ $[(K_2O \cdot Na_2O) \cdot Al_2O_3 \cdot 2SiO_2 \cdot xH_2O]$ [17] ได้มีการผลิตโดยแต่ละชนิดมีความแตกต่างที่ขนาดของรูพรุนทำให้ความสามารถในการดูดซับแตกต่างกัน โดยท้าไปในอุตสาหกรรมการผลิตเอทานอลไวร์น้ำ จะนิยมใช้โมเลกุลาร์ซีฟ ชนิด 3A ที่มีขนาดรูพรุนประมาณ 3 อังกstrom ซึ่งมีขนาดเล็กกว่าขนาดโมเลกุลของเอทานอล แต่มีขนาดใหญ่เทียบกับน้ำ ส่งผลให้มีสมบัติพิเศษในการดูดซับน้ำในสภาวะที่อุณหภูมิต่ำ และสามารถแยกเมื่อได้รับความร้อน [18, 19] ดังนั้น เมื่ออิ่มตัวด้วยไอน้ำก็จะนำท้าไปทำการอบกืนสภาพ (regeneration) เพื่อໄลไอน้ำออก สามารถกลับไปใช้ใหม่ได้อีก

จากการวิจัยที่ผ่านมา มีการประยุกต์รังสีอาทิตย์มาใช้ในกระบวนการกรองลับแบบไม่ต่อเนื่อง [20-23] เพื่อช่วยลดการใช้พลังงานในกระบวนการผลิต [24, 25] รวมถึงการดูดซับความชื้นสำหรับอบแห้ง [26-27] และอบกืนสภาพโมเลกุลาร์ซีฟ ชนิด 3A โดยใช้รังสีอาทิตย์ [28] โดยสามารถลดความชื้นจาก 49.33%(d.b.) เหลือ 12.33%(d.b.) ภายในเวลา 4 วัน (ชั่วโมงทำงานรวม 24 ชั่วโมง)

โดยท้าไปการกรองลับด้วยรังสีอาทิตย์แบบไม่ต่อเนื่องในการกรองลับขั้นตอนที่ 1 จากความเข้มข้นเริ่มต้น 10% v/v ผลผลิตที่กลับได้จะมีความเข้มข้นได้ไม่เกิน 53% v/v จาก vapour-liquid equilibrium diagram [29] ดังนั้น จะต้องทำการกรองล้ำอีก 3-4 ขั้นตอน จึงจะได้ความเข้มข้นประมาณ 95% v/v ดังนั้นในงานวิจัยนี้จะลดขั้นตอน โดยศึกษาความเป็นไปได้ในการเพิ่มความเข้มข้นของเอทานอลจากกระบวนการกรองลับด้วยรังสีอาทิตย์ ด้วยการแยกเอทานอลจากสารผสม (เอทานอล-น้ำ) ด้วยโมเลกุลาร์ซีฟ ชนิด 3A โดยใช้รังสีอาทิตย์เป็นแหล่งความร้อนหลัก ในกระบวนการต้มกลับ ทั้งนี้ถังต้มกลับ จะมีลักษณะ เช่นเดียวกับเตาต้มกลับสูรพื้นบ้าน ความเข้มข้นของเอทานอลที่กลับได้จากระบบ จะเปรียบเทียบกับการกรองลับปกติ

2. หลักการทำงาน



รูปที่ 1 การแยกเอทานอลจากสารผสมเอทานอล-น้ำโดยสารดูดซับในกระบวนการต้มกลับเอทานอลด้วยพลังงานแสงอาทิตย์

2.1 ตัวเก็บรังสีอาทิตย์แบบแผ่นราน

กรณีระบบอยู่ในสภาพแวดล้อมที่อัตราความร้อนที่ได้จากตัวเก็บรังสีอาทิตย์ โดยประยุกต์ใช้สมการของ Hottel-Willier - Bliss [30] จะคำนวณจาก

$$q_c = A_c F_R [I_T(\tau\alpha)_e - U_L(T_{fi} - T_a)] \quad (1)$$

โดยที่ A_c คือพื้นที่ของตัวเก็บรังสี (m^2), F_R คือแฟคเตอร์การนำความร้อนมาใช้ของตัวเก็บรังสี, I_T คือค่าความเข้มรังสีอาทิตย์ (W/m^2), q_c คืออัตราความร้อนจากตัวเก็บรังสี (W), T_a คืออุณหภูมิอากาศรอบๆ ($^{\circ}C$), T_{fi} คืออุณหภูมิของสารละลายให้เหลือ ($^{\circ}C$), U_L คือสัมประสิทธิ์การสูญเสียความร้อนรวม ($W/m^2^{\circ}C$), $(\tau\alpha)_e$ คือผลคูณประสิทธิ์ผลของค่าส่งผ่านและค่าดูดกลืนรังสี

กรณีที่สารทำงานไม่มีการเปลี่ยนสถานะ อัตราความร้อนสามารถคำนวณได้ดังนี้

$$q_c = m C_{pw} (T_{fo} - T_{fi}) \quad (2)$$

โดยที่ C_{pw} คือความจุความร้อนจำเพาะของสารทำงาน ($kJ/kg^{\circ}C$), m คืออัตราการให้เหลวเชิงมวลของทำงานในตัวเก็บรังสีอาทิตย์ (kg/s), T_{fo} คืออุณหภูมิของสารละลายให้หลอก ($^{\circ}C$)

2.2 การหาอัตราพลังงานความร้อนในถังต้มกลั่น

อุณหภูมิของสารทำงานในถังต้มกลั่นสามารถหาได้จากการสมดุลพลังงานทางความร้อน โดยสมมุติให้ถังเก็บสะสมมีอุณหภูมิสม่ำเสมอและไม่มีการแยกชั้นของอุณหภูมิของของให้ (Non-Stratified Tank) และสมมุติว่าไม่มีการสะสมพลังงานในด้ารับรังสี ดังนั้นการสมดุลพลังงานที่ถังต้มกลั่นสามารถเขียนได้เป็น

อัตราพลังงานความร้อนในถัง = อัตราพลังงานความร้อนที่ได้จากตัวเก็บรังสี - อัตราพลังงานความร้อนที่สูญเสียจากถัง

$$(MC_p)_s dT/dt = A_c F_R [I_T(\tau\alpha)_e - U_L(T_{fi} - T_a)] - (UA)_s (T_s - T_a) \quad (3)$$

โดยที่ $(UA)_s$ คือผลคูณของสัมประสิทธิ์การสูญเสียความร้อนจากถังและพื้นที่ผิวของถัง ($W/^{\circ}C$), $(MC_p)_s$ คือผลคูณของมวลและความจุความร้อนจำเพาะของสารละลายในถัง ($kJ/^{\circ}C$), T_s คืออุณหภูมิเฉลี่ยของสารละลายในถังต้มกลั่นในช่วงเวลาที่พิจารณา ($^{\circ}C$), Δt_i คือผลต่างเวลาที่ใช้คำนวณอุณหภูมิสารละลาย (s)

สมการ (3) สามารถใช้หาอุณหภูมิสารละลายในถังสะสมเมื่อสารละลายดังกล่าวถูกป้อนไปรับความร้อนที่ตัวเก็บรังสีอาทิตย์ในช่วงเวลาต่างๆ ได้ดังนี้

$$T_s^+ = T_s + [\Delta t/(MC_p)_s] ([A_c F_R [I_T(\tau\alpha)_e - U_L(T_{fi} - T_a)] - (UA)_s (T_s - T_a))] \quad (4)$$

จากสมการจะเห็นได้ว่าอุณหภูมิสารละลายจะมีค่าสูงขึ้นตามค่าความเข้มรังสีอาทิตย์ และถ้าสารละลายมีอุณหภูมิถึงจุดเดือด ค่า $(MC_p)_s$ จะเข้าใกล้ค่าอนันต์ อุณหภูมิจะคงที่

2.3 ประสิทธิภาพการดูดซับน้ำของสารดูดซับ

สารดูดซับที่ใช้จะบัน้ำไว้และให้ออกทานอดทะลุผ่าน ดังนั้นความสามารถในการดูดซับน้ำจะพิจารณาจาก

$$E_{ff} = \frac{water_{eq} - water_{product}}{water_{eq}} = \frac{water_{adsorbed}}{water_{eq}} \quad (5)$$

โดยที่ E_{ff} คือประสิทธิภาพการดูดซับน้ำของระบบ, $water_{eq}$ คือปริมาณหรือมวลของน้ำในกระบวนการกรองลั่นที่สภาวะสมดุลไฟฟ้า-ออกเหลว (equilibrium) สำหรับการอ้างอิงสภาวะเริ่มต้นกรณีที่ไม่มีการดูดซับน้ำโดยสารดูดซับ, $water_{product}$ คือปริมาณหรือมวลของน้ำในสารละลายที่ได้จากการกรองลั่น โดยใช้สารดูดซับ และ $water_{adsorbed}$ คือปริมาณหรือมวลของน้ำที่ถูกดูดซับไปจากระบบเป็นผลต่างระหว่าง $water_{eq}$ และ $water_{product}$ โดยสารดูดซับ ตามลำดับ

การทำงานของระบบ ใช้ตัวเก็บรังสีอาทิตย์แบบแผ่นราน เป็นแหล่งพลังแคลอรี่ขึ้นความร้อนระหว่างรังสีอาทิตย์ กับสารละลายในถังกลั่นซึ่งออกแบบให้ชุดควบแน่น ขึ้น

คุณชั้บ และส่วนการระเหยอยู่ในหน่วยเดียวกัน โดยใช้ปั๊มหมุนเวียนสารละลาย ในระบบ ที่อัตราการไหลด 2.5 l/min ตามลำดับ ดังแสดงในรูปที่ 1 เมื่อสารละลายอุณหภูมิสูงขึ้น ก็จะระเหยตัว ในอัตราที่ต่างกัน จากความดันไหที่เพิ่มขึ้นจากผลของอุณหภูมิที่ได้จากการถ่ายเทอที่อุณหภูมิประมาณ 70-80°C และไออกซ์เจน (ออกาโนล-น้ำ) จะระเหยผ่านถาดคุณชั้บ (fixed bed) ซึ่งติดตั้งระหว่างผิวระเหยและผิวกลั่นตัว เนื่องจากขนาดรูพรุนของ molecular sieve ชนิด 3A เล็กกว่าโมเลกุลของออกาโนล ทำให้ออกาโนลไม่สามารถแพร่เข้าไปในรูพรุนของโมเลกุลาร์ซีฟ ดังนั้นจึงมีเพียงน้ำที่หล่อลงมาที่จะถูกคุณชั้บดูดออกไป ทำให้แยกไอน้ำออกจากไออกาโนล ได้ระหว่างการคุณชั้บ โดยไออกาโนลที่เหลือจากการคุณชั้บ จะถูกตัวผ่านถาดคุณชั้บ ไปยังผิวความแน่นส่วนบนของถังกลั่น โดยธรรมชาติในภาชนะปิด ซึ่งไออกซ์เจนจะกลับตัวบริเวณผิวด้านในของ ซึ่งมีอุณหภูมิต่ำกว่าผิวระเหย เนื่องจากสารกราระบายความร้อนสูน้ำหล่อเย็น ต่อเนื่อง และไหลดไปยังร่างน้ำ ออกจากเครื่องกลั่น ตามลำดับ

การทดสอบ จะทำการวัดค่ารังสีอาทิตย์ (solar radiation) ด้วย Pyranometer (Kipp & Zonen) Model CM 11B ความละเอียด +/-2W/m² ทำการวัดอุณหภูมิสารละลาย (T_s) สารคุณชั้บ (T_{sieve}) ผิวความแน่น (T_c) และอากาศรอบๆ (T_a) ด้วยเทอร์โมคัพเปลี่ยนชนิด K ซึ่งมีความละเอียด +/-0.5°C บันทึกข้อมูลค่ารังสีและอุณหภูมิการทดลอง ทุกๆ 1 นาที โดยใช้ Data logger (Yokogawa) Model MW 100 สารคุณชั้บที่ใช้จะเป็นโมเลกุลาร์ซีฟ ชนิด 3A (ZEOCHEM Z3-03) ขนาด 2.5-5.0 mm ที่ผ่านการอบที่อุณหภูมิ 250°C เป็นเวลา 3 ชั่วโมง

2. วิธีดำเนินการทดลอง

งานวิจัยนี้ได้ออกแบบการทดลองการกลั่นออกาโนลด้วยรังสีอาทิตย์ เทียบกับระบบแยกไอน้ำจากสารผสมโดยสารคุณชั้บในกระบวนการการกลั่นออกาโนลด้วยรังสีอาทิตย์ ซึ่งทำงานแบบไม่ต่อเนื่อง (batch operation)

สามารถแบ่งการศึกษาออกเป็น 2 ขั้นตอน คือ การทดลองสภาวะจำลองเบื้องต้น และ การทดลองระบบด้วยรังสีอาทิตย์ มีรายละเอียดการทดลองดังนี้

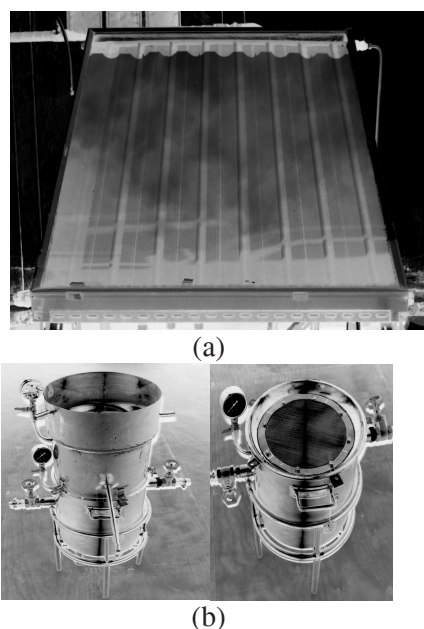
ขั้นตอนที่ 1: การทดลองสภาวะจำลองเบื้องต้น เป็นการทดลองขั้นต้น เพื่อศึกษาด้วยประยุกต์ความเข้มข้นของสารละลายเริ่มต้น และปริมาณสารคุณชั้บ ที่ส่งผลต่อความเข้มข้นของออกาโนลที่กลั่นได้ เพื่อเป็นข้อมูลประกอบการออกแบบการทดลองร่วมกับรังสีอาทิตย์ต่อไป โดยทดสอบการกลั่นสารละลายปริมาตร 2.5 ลิตรที่ความเข้มข้น 6 ระดับ คือ 10, 30, 40, 70, 80 และ 95%v/v ตามลำดับ ในถังกลั่นตันแบบขนาดเส้นผ่าศูนย์กลาง 12 เซนติเมตร บรรจุโมเลกุลาร์ซีฟ ในถาดคุณชั้บ (fixed bed) จำนวน 100, 300 และ 500 กรัม โดยใช้อีซิเตอร์ไฟฟ้า (hot plate stirrer) ตั้งอุณหภูมิที่ 120°C และกวนที่ 500 รอบต่อนาที เป็นแหล่งความร้อน เป็นเวลา 180 นาที วัดปริมาตร ความเข้มข้นของผลผลิตที่ได้ และบันทึกมวลสารคุณชั้บหลังจากคุณชั้บ ตามลำดับ เพื่อทดสอบความเป็นไปได้ในการประยุกต์ใช้เทคนิคถังกล่าวทำงานร่วมรังสีอาทิตย์ บนตัวแปรของความเข้มข้นของผลิตภัณฑ์ที่ได้ ดังแสดงรายละเอียดในรูปที่ 2



รูปที่ 2 ถังกลั่นตันแบบขนาดเด็กในระบบแยกไอน้ำจากสารผสมออกาโนล-น้ำ

นอกจากนี้มีการทดลองเพื่อเปรียบเทียบสมรรถนะการแยกของระบบที่ใช้โมเลกุลาร์ซีฟชนิด 3A จำนวน 300 กรัม ที่อบคืนสภาพ ที่อุณหภูมิ 250°C, 100°C และอบคืนตู้อบรังสีอาทิตย์ [28] ที่ความเข้มข้นเริ่มต้น 10, 30, 40, 70, 80 และ 95%v/v ตามลำดับ

ขั้นตอนที่ 2: การกลั่นเอทานอลด้วยรังสีอาทิตย์ โดยในกระบวนการกลั่นเอทานอลด้วยรังสีอาทิตย์ จะใช้ตัวเก็บรังสีอาทิตย์แบบแผ่นรานบนาค 2 ตารางเมตร เป็นแหล่งความร้อนให้สารละลายในถัง ที่ป้อนเข้าตัวเก็บรังสีเพื่อรับความร้อน และ ไฟลอกลั่นเข้าที่ถังอีก



รูปที่ 3 (a) ตัวเก็บรังสีอาทิตย์แบบแผ่นราน;
(b) ถังกลั่นเอทานอลในระบบแยกไอน้ำจากสารผสมเอทานอล-น้ำ

สารละลายเอทานอล-น้ำปริมาตร 10 ลิตร ในถังต้มกลั่นขนาดเส้นผ่าศูนย์กลาง 28 เซนติเมตร ที่มีส่วน率เหยย (ผิวสารละลาย) และควบแน่น (ส่วนรากษายความร้อนบนฝาถังกลั่น) อยู่ในชุดเดียวกัน ดังแสดงในรูปที่ 3 โดยใช้โนเมเลกุลาร์ซีฟ 2000 กรัม โดยพิจารณา_r่วมกับข้อมูลจากการทดลองในขั้นตอนที่ 1 ประกอบ (สารคุณภาพ > 500 กรัมต่อสารละลาย 2.5 ลิตร เป็นปริมาณมากที่สุดที่ไอของสารผสมสามารถดูดซึมน้ำและไฟลอกลั่นคุณภาพได้) ติดตั้งระหว่างส่วน率เหยยและควบแน่น การทดสอบจะศึกษาการแยกเอทานอลออกจากสารผสม(เอทานอล-น้ำ) เทียบกับระบบปกติที่ไม่ใช้โนเมเลกุลาร์ซีฟในการคุณภาพโดยทำการทดสอบที่ความเข้มข้นเริ่มต้น 4 ระดับ คือ

ประมาณ 10, 30, 70 และ 80% v/v ตามลำดับ การทดสอบดำเนินการในช่วงเวลา 9:00-15:00 น.

4. ผลการทดลอง

ขั้นตอนที่ 1: การทดลองสภาวะจำลองเมืองตัน จากการทดลองกลั่นสารละลายเอทานอลความเข้มข้นเริ่มต้น 10, 30, 40, 70, 80 และ 95% v/v ที่ปริมาณสารคุณภาพ 100, 300 และ 500 กรัม ผลการทดลองแสดงในตารางที่ 1

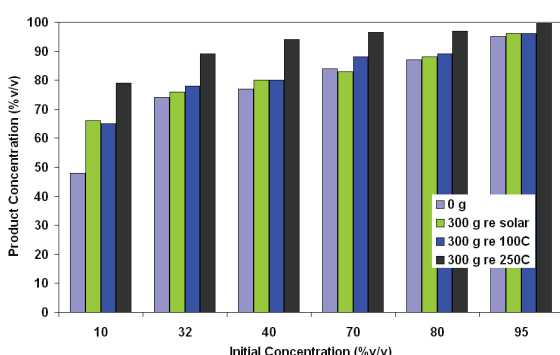
ตารางที่ 1 ความเข้มข้น และปริมาณสารละลายที่ได้จาก การกลั่นสารละลายปริมาตร 2.5 ลิตร โดยใช้โนเมเลกุลาร์ซีฟ 100, 300 และ 500 กรัม เป็นสารคุณภาพที่ความเข้มข้นเริ่มต้นต่างๆ

sieves 0 g				
initial (%v/v)	product (%v/v)	vol (mL)	ethanol (mL)	water (mL)
10	48.0	175	84.00	91.00
32	74.0	286	211.64	74.36
40	77.0	275	211.75	63.25
70	84.0	278	233.52	44.48
80	87.0	181	157.47	23.53
95	95.0	101	95.95	5.05
sieves 100 g				
initial (%v/v)	product (%v/v)	vol (mL)	ethanol (mL)	water (mL)
10	67.0	86	57.62	28.38
32	79.0	92	72.68	19.32
40	82.0	108	88.56	19.44
70	88.0	116	102.08	13.92
80	91.0	116	105.56	10.44
95	98.0	122	119.56	2.44
sieves 300 g				
initial (%v/v)	product (%v/v)	vol (mL)	ethanol (mL)	water (mL)
10	79.0	46	36.34	9.66
32	89.0	63	56.07	6.93
40	94.0	55	51.70	3.30
70	99.0	76	75.24	0.76
80	99.0	100	99.00	1.00
95	99.0	123	121.77	1.23
sieves 500 g				
initial (%v/v)	product (%v/v)	vol (mL)	ethanol (mL)	water (mL)
10	95.0	30	28.50	1.50
32	97.0	33	32.01	0.99
40	97.0	46	44.62	1.38
70	99.0	63	62.37	0.63
80	99.0	66	65.34	0.66
95	99.8	107	106.79	0.21

พบว่าความเข้มข้นของเอทานอลที่กลั่นได้ เพิ่มขึ้นตาม ความเข้มข้นเริ่มต้น และปริมาณสารคุณภาพที่เพิ่มขึ้น เมื่อเทียบกับระบบที่ไม่ใช้สารคุณภาพ ระบบที่ใช้โนเมเลกุลาร์ซีฟ 500 กรัม สามารถเพิ่มความเข้มข้นสารละลายได้สูงที่สุด โดยได้ความเข้มข้นเท่ากับ 95, 97, 99, 99 และ 99.8% v/v ตามลำดับ อ่างไรก็ตามแม้ว่าปริมาณสารคุณภาพเป็นปัจจัยต่อความจุในการคุณภาพไอน้ำ ความหนาของสารคุณภาพที่ 100, 300 และ 500 กรัม ซึ่งมีค่า 1, 2.5 และ

4 เช่นติเมตรของขั้นคุณภาพ ส่งผลให้ไอ้น้ำมีพื้นที่ และระยะเวลาในการคุณภาพ กับผิวสารคุณภาพเพิ่มขึ้น ก่อให้ความดันตกกว่าอัตราเพิ่มขึ้นตามปริมาณสารคุณภาพ ทำให้ปริมาณการกลั่นเอทานอลโดยรวมลดลง ในขณะที่ความเข้มข้นสูงขึ้น

สำหรับการทดลองเพื่อเปรียบเทียบความเข้มข้นของเอทานอลที่กลั่นได้ โดยไม่เลกูลาร์ซีฟ (300 กรัม) ที่อบคีนสภาพที่อุณหภูมิ 250°C, 100°C และอบด้วยรังสีอาทิตย์ (6 ชั่วโมง) หรือประมาณ 25% (d.b.) พนว่าไม่เลกูลาร์ซีฟที่ผ่านการอบคีนสภาพที่อุณหภูมิ 100°C และรังสีอาทิตย์ ไม่สามารถเพิ่มความเข้มข้นเอทานอลที่กลั่นได้ ที่ความเข้มข้นเริ่มต้น >30% v/v ขึ้นไป โดยมีค่าต่ำกว่าการใช้ไม่เลกูลาร์ซีฟ ที่อบคีนสภาพที่อุณหภูมิ 250°C ซึ่งความเข้มข้นที่กลั่นได้มีค่าใกล้เคียงกับการกลั่นปกติ (ไม่ใช้สารคุณภาพ) ดังแสดงในรูปที่ 4 ดังนั้นสามารถประเมินได้ว่าการอบคีนสภาพที่อุณหภูมิต่ำกว่า 250°C ไม่สามารถคีนสภาพสารคุณภาพเพื่อนำมาใช้งานใหม่ได้อย่างมีประสิทธิภาพ



รูปที่ 4 ความเข้มข้นเอทานอลที่ได้จากการกลั่นและคุณภาพด้วยไม่เลกูลาร์ซีฟที่ผ่านการคีนสภาพที่ 250, 100°C และอบด้วยรังสีอาทิตย์ที่ความเข้มข้นเริ่มต้นต่างๆ

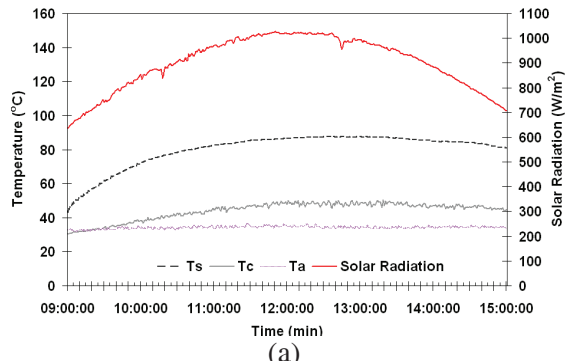
ตารางที่ 2 มวลน้ำที่ระเหย มวลน้ำที่อยู่ในสารละลายที่กลั่นได้ มวลน้ำที่คุณภาพโดยสารคุณภาพและประสิทธิภาพการคุณภาพน้ำโดยใช้ไม่เลกูลาร์ซีฟ 100, 300 และ 500 กรัม ที่ความเข้มข้นเริ่มต้นต่างๆ

Sieves (g)	Equilibrium (g)	Product (g)	Adsorbed (g)	Eff %
<i>Initial 95%v/v Batch operation with Molecular Sieves 3A</i>				
100	4.85	2.20	2.65	54.70
300	4.85	0.98	3.86	79.70
500	4.85	0.00	4.85	100.00
<i>Initial 80%v/v Batch operation with Molecular Sieves 3A</i>				
100	23.17	10.21	12.96	55.94
300	23.17	0.80	22.37	96.55
500	23.17	0.53	22.64	97.72
<i>Initial 70%v/v Batch operation with Molecular Sieves 3A</i>				
100	43.92	13.69	30.24	68.84
300	43.92	0.61	43.32	98.62
500	43.92	0.50	43.42	98.85
<i>Initial 40%v/v Batch operation with Molecular Sieves 3A</i>				
100	62.70	19.22	43.48	69.34
300	62.70	3.19	59.51	94.91
500	62.70	1.29	61.41	97.95
<i>Initial 32%v/v Batch operation with Molecular Sieves 3A</i>				
100	73.79	19.14	54.65	74.07
300	73.79	6.80	66.98	90.78
500	73.79	0.92	72.86	98.75
<i>Initial 10%v/v Batch operation with Molecular Sieves 3A</i>				
100	90.65	28.21	62.44	68.88
300	90.65	9.57	81.08	89.45
500	90.65	1.44	89.21	98.41

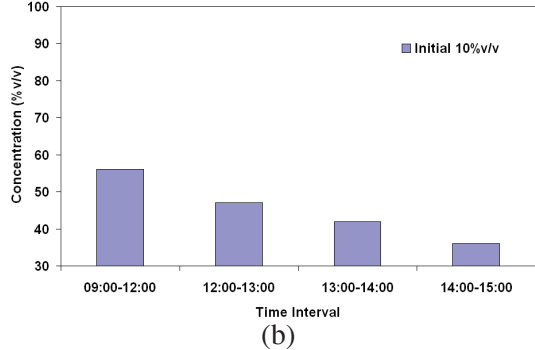
จากข้อมูลในตารางที่ 2 แสดงมวลไอน้ำทั้งหมดที่ถูกคุณภาพในช่วงเวลา 3 ชั่วโมง ด้วยไม่เลกูลาร์ซีฟ 100, 300 และ 500 กรัม ที่ความเข้มข้นเริ่มต้นต่างๆ พนว่ามีค่ามากขึ้นตามปริมาณไอน้ำที่มากขึ้น ตามสัดส่วนความเข้มข้นของสารละลาย และปริมาณปริมาณสารคุณภาพ

เมื่อคิดเป็นร้อยละเทียบกับระบบกลั่นที่ไม่ใช้สารคุณภาพโดยพิจารณาจากปริมาณไอน้ำจาก vapour-liquid equilibrium diagram ในการกลั่นปกติเทียบกับปริมาณน้ำที่มีในสารละลายที่กลั่น ได้ สำหรับอ้างอิง พนว่าที่ปริมาณสารคุณภาพ 500 กรัมต่อสารละลาย 2.5 ลิตร สามารถคุณภาพไอน้ำได้มากที่สุด มีประสิทธิภาพการคุณภาพ (E_{ff}) มากกว่า 90% ขึ้นไปที่ทุกๆ ความเข้มข้น จึงนำไปทดสอบต่อเนื่องในระบบแยกไอน้ำจากสารผสมโดยสารคุณภาพในกระบวนการการกลั่นเอทานอลด้วยรังสีอาทิตย์ ต่อไป

ขั้นตอนที่ 2: การกลั่นเอทานอลด้วยรังสีอาทิตย์เทียบกับระบบแยกไอน้ำจากสารผสมเอทานอล-น้ำโดยสารคุณภาพในกระบวนการการกลั่นเอทานอลด้วยรังสีอาทิตย์

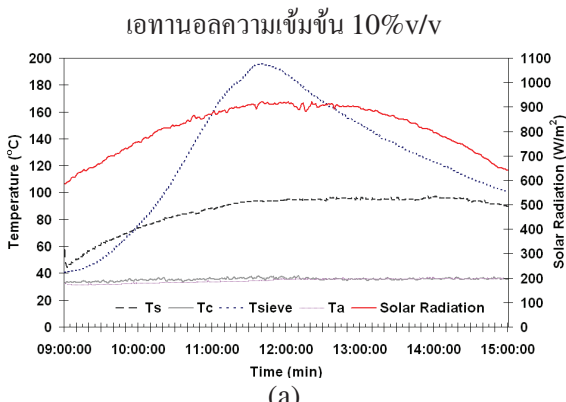


(a)

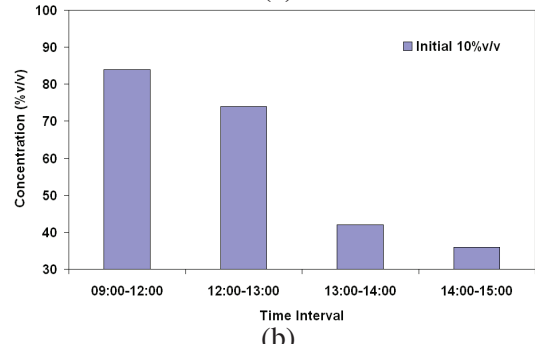


(b)

รูปที่ 5 (a) ค่ารังสีอาทิตย์ และอุณหภูมิต่างๆ;
(b) ความเข้มข้นสารละลายที่กลั่น ได้กรณีกลั่น

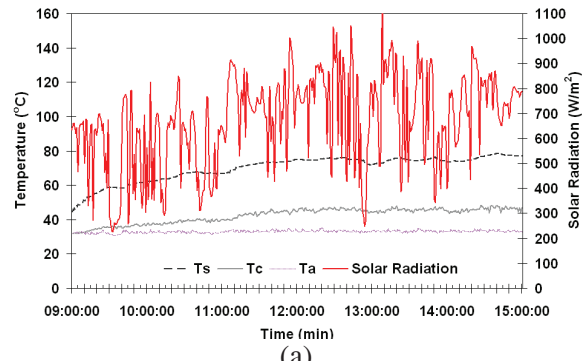


(a)

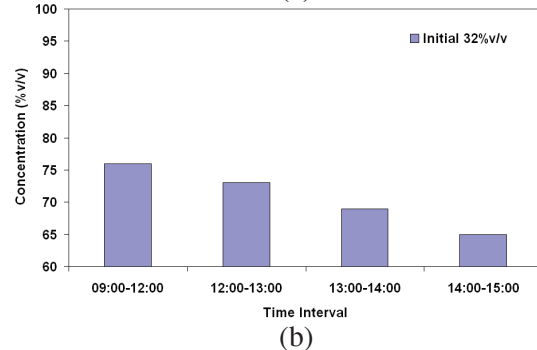


(b)

รูปที่ 6 (a) ค่ารังสีอาทิตย์ และอุณหภูมิต่างๆ;
(b) ความเข้มข้นสารละลายที่กลั่น ได้กรณีใช้ไมเลกูลาร์ชิฟ
ดูดซับ ไอน้ำจากการกลั่นethanol ลดความเข้มข้น 10% v/v

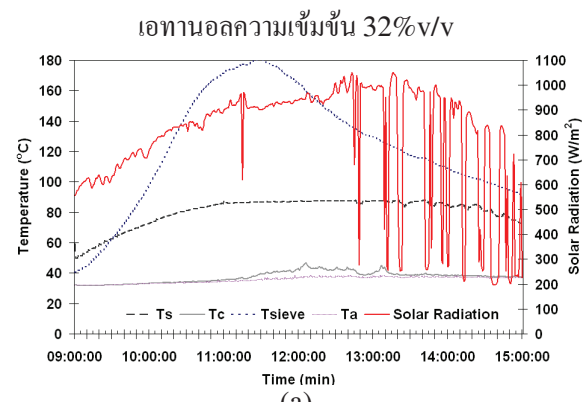


(a)

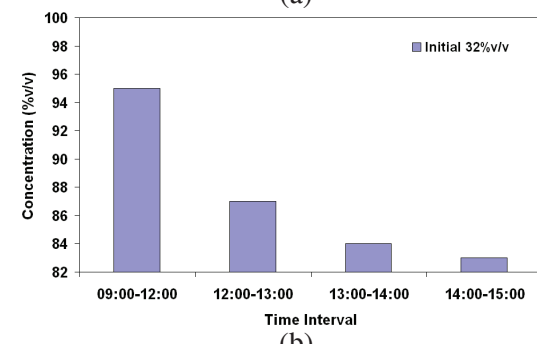


(b)

รูปที่ 7 (a) ค่ารังสีอาทิตย์ และอุณหภูมิต่างๆ;
(b) ความเข้มข้นสารละลายที่กลั่น ได้กรณีกลั่น

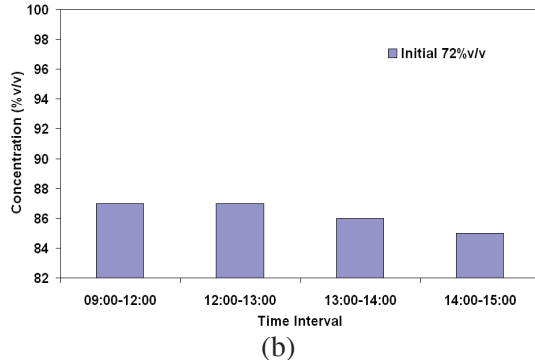
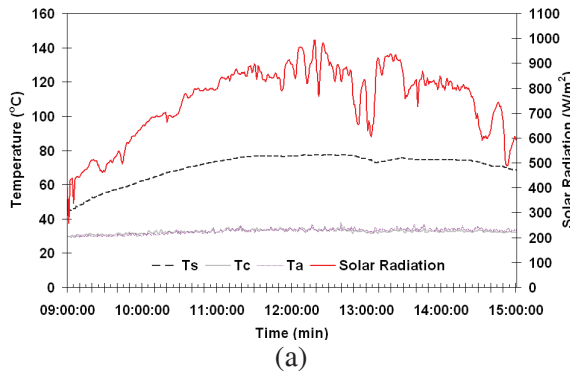


(a)

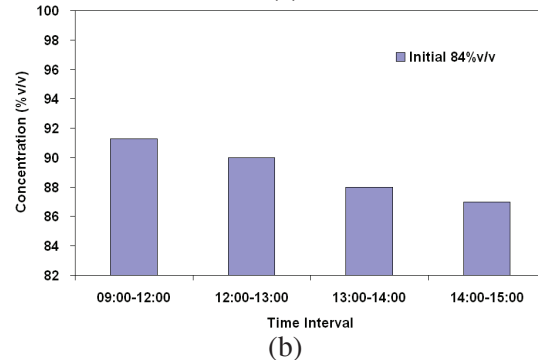
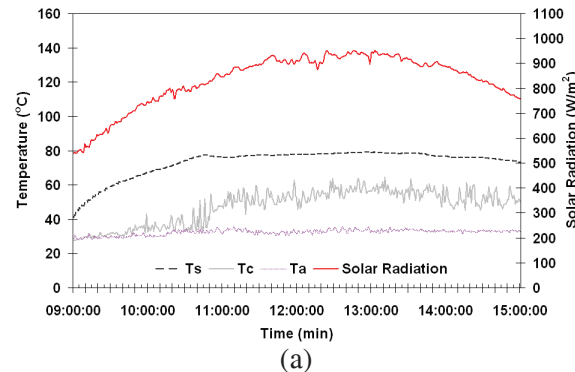


(b)

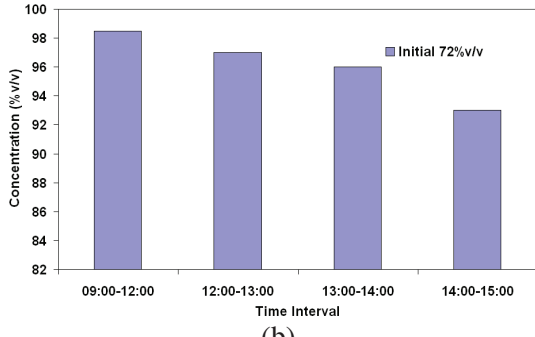
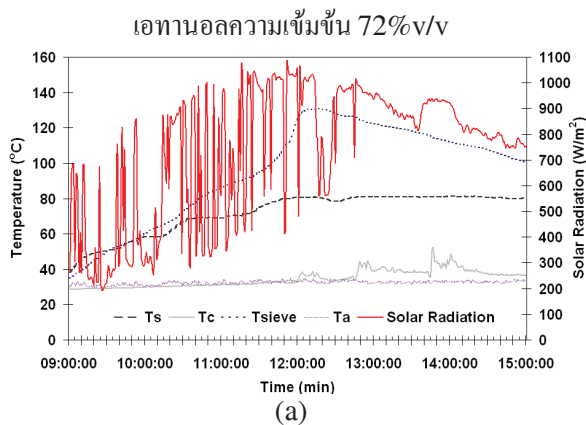
รูปที่ 8 (a) ค่ารังสีอาทิตย์ และอุณหภูมิต่างๆ;
(b) ความเข้มข้นสารละลายที่กลั่น ได้กรณีใช้ไมเลกูลาร์ชิฟ
ดูดซับ ไอน้ำจากการกลั่นethanol ลดความเข้มข้น 32% v/v



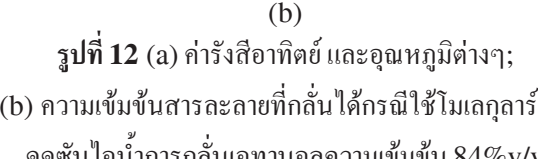
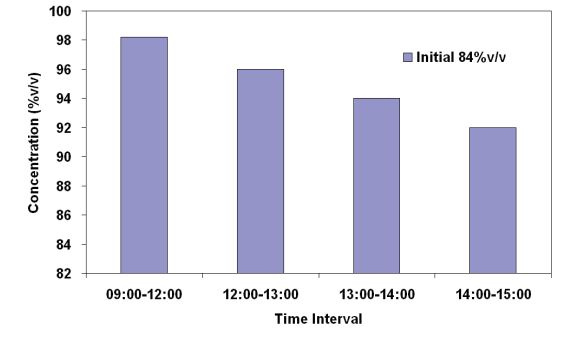
รูปที่ 9 (a) ค่ารังสีอาทิตย์ และอุณหภูมิต่างๆ;
(b) ความเข้มข้นสารละลายที่กลั่นได้กรณีกลั่น



รูปที่ 11(a) ค่ารังสีอาทิตย์ และอุณหภูมิต่างๆ;
(b) ความเข้มข้นสารละลายที่กลั่นได้กรณีกลั่น



รูปที่ 10 (a) ค่ารังสีอาทิตย์ และอุณหภูมิต่างๆ;
(b) ความเข้มข้นสารละลายที่กลั่นได้กรณีใช้ไมโครกราฟซีฟ
ดูดซับไอน้ำจากการกลั่นเอทานอลความเข้มข้น 72% v/v



รูปที่ 12 (a) ค่ารังสีอาทิตย์ และอุณหภูมิต่างๆ;
(b) ความเข้มข้นสารละลายที่กลั่นได้กรณีใช้ไมโครกราฟซีฟ
ดูดซับไอน้ำจากการกลั่นเอทานอลความเข้มข้น 84% v/v

จากรูปที่ 5-12(a) พบว่าในช่วงเวลา 9:00-12:00น. อุณหภูมิสารละลาย เริ่มเพิ่มสูงขึ้นอย่างช้าๆ จากปัจจัยของ ค่าความจุความร้อนจำเพาะและความเข้มรังสีอาทิตย์ จน เข้าใกล้อุณหภูมิจุดเดือดของอุตสาหกรรม ที่ 78.8°C จากนั้นอุณหภูมิสารละลายจะค่อนข้างคงที่ ในช่วงเวลา 12:00-15:00น. สำหรับกรณีใช้ไมโครกูลาร์ซีฟคุณชับอน้ำ จากอุตสาหกรรมอุตสาหกรรมเพื่อการคุณชับอนน้ำ หรือ อัตราการระเหยของไออกซ์เจน เอทานอล-น้ำ ซึ่งการคุณชับอน้ำ ของไมโครกูลาร์ซีฟจะมีการถ่ายเทความร้อนออก ทำให้ (T_{sieve}) มีค่าสูงขึ้น และลดลงเมื่อไอน้ำผ่านน้ำอุ่น หรือ ไมโครกูลาร์ซีฟเริ่มมีประสิทธิภาพการคุณชับลดลง เมื่อไอน้ำสะสมในสารคุณชับมากขึ้นจนเข้าสู่สภาวะอิ่มตัว ส่งผล ให้ปริมาณไอน้ำที่ถูกคุณชับลดลงอุณหภูมิสารคุณชับ (T_{sieve}) ลดลง ตามลำดับ ซึ่งส่งผลถึงความเข้มข้นและ ปริมาณอุตสาหกรรมที่กลับไป การทดลองได้ใช้ความเข้มข้น เอทานอล 4 ระดับ คือปริมาณ 10, 30, 70 และ 80%v/v ตามลำดับ สามารถแบ่งผลการทดลองเป็น 2 ส่วนคือ ช่วง ความเข้มข้นเริ่มต้นต่ำ ($10-32\%\text{v/v}$) และ ช่วงความเข้มข้นเริ่มต้นสูง ($72-84\%\text{v/v}$) ตามลำดับ

จากรูปที่ 5-12(b) ความเข้มข้นสารละลายที่กลับไป กรณีไม่ใช้ไมโครกูลาร์ซีฟ และใช้ไมโครกูลาร์ซีฟ พบร่วมกัน ความเข้มข้นของสารละลายที่กลับไปทั้ง 2 กรณี มีค่าความเข้มข้นที่สูงมากในช่วงต้นของกระบวนการกรอง แปรผัน ตามความเข้มข้นเริ่มต้นของสารละลายที่ทดสอบ และเมื่ออุณหภูมิสารละลายเพิ่มขึ้น ทำให้มีปริมาณไอน้ำและอุตสาหกรรมที่ระเหยขึ้นมากและกลับตัว ในสารละลายเพิ่มขึ้น โดย เอทานอลระเหยได้มากกว่าไอน้ำในช่วงแรก จากสมบัติ ของจุดเดือดที่ต่างกัน เมื่อเวลาผ่านไป เอทานอลในสารละลายมีสัดส่วนหรือความเข้มข้นลดลงตามลำดับ ส่งผลให้ปริมาณอุตสาหกรรมที่ความเข้มข้นเริ่มต้นต่างๆ ระเหยได้น้อยลง ในขณะที่ไอน้ำระเหยได้เท่าเดิมหรือมากขึ้น เนื่องจากมีสัดส่วนของน้ำต่อเอทานอลมากขึ้น ตามลำดับ (ระบบกลั่นแบบกะหรือไม่ต่อเนื่อง) ทำให้สารละลายที่กลับไปมีความเข้มข้นมีค่าต่ำลง โดยเมื่อ

พิจารณาเปรียบเทียบความเข้มข้นในช่วงเวลาต่างๆ ระหว่างการกลั่นอุตสาหกรรมกับระบบแยกไอน้ำจากสารผสมอุตสาหกรรม-น้ำโดยสารคุณชับในกระบวนการกรอง กลั่น เอทานอล-น้ำโดยสารคุณชับมีความเข้มข้นในช่วงเวลา ต่างๆ และความเข้มข้นของผลิตภัณฑ์โดยรวมสูงกว่า การกลั่นปกติที่ทุกความเข้มข้นเริ่มต้นดังแสดงรายละเอียดในตารางที่ 1 และ 2 ตามลำดับ

อย่างไรก็ตาม เมื่อพิจารณาข้อมูลจากตารางที่ 3 และ 4 พบว่าที่สารละลายสุดท้าย มีค่าความเข้มข้นเพิ่มขึ้น จาก ค่าความเข้มข้นเริ่มต้นที่ 10, 32, 72, 84%v/v เพิ่มเป็น ปริมาณ 48.6, 72.3, 86.5, 89.7%v/v และเพิ่มเป็น 74.4, 89.4, 97.0, 96.3%v/v สำหรับการกลั่นอุตสาหกรรม ปกติ และการใช้สารคุณชับในการกลั่นอุตสาหกรรม ตามลำดับ

จากข้อมูลความเข้มข้น และปริมาตรผลิตภัณฑ์ที่กลับไปได้ในช่วงเวลาต่างๆ และปริมาตรผลิตภัณฑ์โดยรวม ในตารางที่ 3 และ 4 พบว่าปริมาณสารละลายที่กลับไปได้ ปรับผันตามความเข้มข้นของสารละลายเริ่มต้น โดยสารละลาย ความเข้มข้นเริ่มต้นสูง สามารถกลั่นสารละลายได้ปริมาณที่มากกว่าความเข้มข้นเริ่มต้นต่ำกว่าที่สภาวะเดียว กัน โดย ปรับผันตามค่ารังสีอาทิตย์ในการทดลองนั้นๆ นอกจากนี้ ปริมาณสารละลายที่กลับไปได้จากระบบที่ใช้ไมโครกูลาร์ซีฟ คุณชับไอน้ำ ต่ำกว่าระบบกลั่นปกติที่ทุกๆ ความเข้มข้น เริ่มต้น เนื่องจากการติดตั้งภาคคุณชับระหว่างส่วนระเหย และควบแน่น ส่งผลให้มีความต้านทานไฟฟ้าของกระบวนการระเหย ของสารผสมมากขึ้น ส่งผลให้ไออกซ์เจนผ่านชั้นคุณชับได้น้อยลง และเป็นปัจจัยให้เกิดการคุณชับระหว่างไออกซ์เจนกับ ผิวสารคุณชับ ตามลำดับ

ตารางที่ 3 ผลการทดสอบการกลั่นเอทานอลปกติเทียบกับการใช้สารคุณชั้นในการกลั่นเอทานอลด้วยรังสีอาทิตย์ ที่ความเข้มข้น (10-32%v/v)

Non-Molecular Sieve 3A (10%v/v)			
19.4 MJ/m ² -Batch	Initial Concentration 10%v/v	Volume 10 liters	
Time Interval	Product (%v/v)	Product (cc.)	Pure Ethanol (cc.)
09:00-12:00	56.0	1265	708
12:00-13:00	47.0	550	259
13:00-14:00	42.0	500	210
14:00-15:00	36.0	410	148
Total	48.6	2725	1325

Molecular Sieve 3A 2000g (10%v/v)			
17.5 MJ/m ² -Batch	Initial Concentration 10%v/v	Volume 10 liters	
Time Interval	Product (%v/v)	Product (cc.)	Pure Ethanol (cc.)
09:00-12:00	84.0	270	227
12:00-13:00	74.0	140	104
13:00-14:00	42.0	50	21
14:00-15:00	36.0	20	7
Total	74.7	480	359

Non-Molecular Sieve 3A (32%v/v)			
14.5 MJ/m ² -Batch	Initial Concentration 32%v/v	Volume 10 liters	
Time Interval	Product (%v/v)	Product (cc.)	Pure Ethanol (cc.)
09:00-12:00	76.0	1390	1056
12:00-13:00	73.0	750	548
13:00-14:00	69.0	550	380
14:00-15:00	65.0	550	358
Total	72.3	3240	2341

Molecular Sieve 3A 2000g (32%v/v)			
17.1 MJ/m ² -Batch	Initial Concentration 32%v/v	Volume 10 liters	
Time Interval	Product (%v/v)	Product (cc.)	Pure Ethanol (cc.)
09:00-12:00	95.0	365	366
12:00-13:00	87.0	400	348
13:00-14:00	84.0	155	130
14:00-15:00	83.0	50	42
Total	89.4	990	885

ตารางที่ 4 ผลการทดสอบการกลั่นเอทานอลปกติเทียบกับการใช้สารคุณชั้นในการกลั่นเอทานอลด้วยรังสีอาทิตย์ ที่ความเข้มข้น (72-84%v/v)

Non-Molecular Sieve 3A (72%v/v)			
16.2 MJ/m ² -Batch	Initial Concentration 72%v/v	Volume 10 liters	
Time Interval	Product (%v/v)	Product (cc.)	Pure Ethanol (cc.)
09:00-12:00	87.0	1890	1644
12:00-13:00	87.0	1000	870
13:00-14:00	86.0	940	808
14:00-15:00	85.0	700	595
Total	86.5	4530	3918

Molecular Sieve 3A 2000g (72%v/v)			
15.9 MJ/m ² -Batch	Initial Concentration 72%v/v	Volume 10 liters	
Time Interval	Product (%v/v)	Product (cc.)	Pure Ethanol (cc.)
09:00-12:00	98.5	890	877
12:00-13:00	97.0	450	437
13:00-14:00	96.0	370	355
14:00-15:00	93.0	250	233
Total	97.0	1960	1901

Non-Molecular Sieve 3A (84%v/v)			
18.0 MJ/m ² -Batch	Initial Concentration 84%v/v	Volume 10 liters	
Time Interval	Product (%v/v)	Product (cc.)	Pure Ethanol (cc.)
09:00-12:00	91.3	2600	2374
12:00-13:00	90.0	1250	1125
13:00-14:00	88.0	1250	1100
14:00-15:00	87.0	900	783
Total	89.7	6000	5382

Molecular Sieve 3A 2000g (84%v/v)			
18.6 MJ/m ² -Batch	Initial Concentration 84%v/v	Volume 10 liters	
Time Interval	Product (%v/v)	Product (cc.)	Pure Ethanol (cc.)
09:00-12:00	98.2	1150	1129
12:00-13:00	96.0	750	720
13:00-14:00	94.0	510	479
14:00-15:00	92.0	170	156
Total	96.3	2580	2485

เมื่อพิจารณาความเข้มข้นจากการกลั่นปกติ (Normal) จากสมดุลไอน้ำ-เอทานอล ที่ความเข้มข้นเริ่มต้น

10, 32, 72 และ 84%v/v พบร่วมสามารถเพิ่มความเข้มข้นเอทานอลสูงสุดไม่เกิน 54, 74, 84 และ 87%v/v ตามลำดับ เมื่อเทียบกับเอทานอลที่กลั่นได้จากระบบแยกไอน้ำจากสารละลายโดยสารคุณชั้นในกระบวนการการกลั่นเอทานอลด้วยรังสีอาทิตย์ พบร่วมสามารถลดความเข้มข้นลงมากกว่า 90%v/v ขึ้นไป

5. สรุป

จากการทดสอบการเพิ่มความเข้มข้นการกลั่นสารผสมเอทานอล-ไอน้ำโดยสารคุณชั้นในกระบวนการการกลั่นเอทานอลด้วยรังสีอาทิตย์ โดยใช้โนเลกูลาร์ซีฟ ชนิด 3A สามารถแยกไอน้ำออกจากไออกซ์เจนและสามารถเพิ่มความเข้มข้นของเอทานอลได้มากกว่า 90%v/v ซึ่งเป็นข้อจำกัดของระบบกลั่นแบบไม่ต่อเนื่อง ทำให้สามารถลดความเข้มต้นแบบไม่ต่อเนื่องลงได้ สำหรับการกลั่นเอทานอลเริ่มต้นประมาณ 30, 70 และ 80%v/v ตามลำดับ โดยปริมาณสารคุณชั้นและความเข้มข้นเริ่มต้นของสารละลายเป็นปัจจัยต่อระยะเวลาในการคุณชั้นระหว่างไออกซ์เจนกับผิวสารคุณชั้น ดังนั้นการออกแบบระบบให้มีแรงขับดันมากขึ้น เพื่อให้ไออกซ์เจนไหหลุดผ่านชั้นคุณชั้นที่มีความหนาแน่นสูงซึ่งทำให้ระบบสามารถใช้ปริมาณสารคุณชั้นได้มากขึ้น และเพิ่มระยะเวลาในการคุณชั้นเริ่มต้น ก่อนอนดับความร้อนที่อุณหภูมิต่ำกว่า 250°C ต่อ โดยใช้พลังงานโดยรวมลดลง

ในขณะที่อุณหภูมิการอบคืนสภาพสารคุณชั้นที่อุณหภูมิต่ำกว่า 250°C ไม่สามารถคืนสภาพสารคุณชั้นเพื่อนำมาใช้งานใหม่ได้อย่างมีประสิทธิภาพ โดยมีแนวโน้มที่สามารถประยุกต์ใช้ความร้อนรังสีอาทิตย์มาช่วยในการอบคืนสภาพโนเลกูลาร์ซีฟ 3A ได้ในลักษณะการอบໄล์ความชื้นขั้นต้น ก่อนอนดับความร้อนที่อุณหภูมิต่ำกว่า 250°C ต่อ โดยใช้พลังงานโดยรวมลดลง

6. กิตติกรรมประกาศ

ขอขอบคุณ สำนักงานคณะกรรมการวิจัยแห่งชาติ (วช.) ที่ให้การสนับสนุนทุนวิจัย

ເອກສານອ້າງອີງ

- [1] Rabelo, S.C., Carrere, H., Filho, R.M. and Costa, A.C. Production of bioethanol, methane and heat from sugarcane bagasse in a biorefinery concept. *Bioresource Technol.*, September 2011; 102(17): 7887–7895.
- [2] Sarkar, N., Ghosh, S.K., Bannerjee, S., Aikat, K. Bioethanol production from agricultural wastes: an overview. *Renew. Energy*, January 2012; 37(1), 19–27.
- [3] Jacques, K.A., Lyons, T.P., Kelsall, D.R. The Alcohol Textbook. *Nottingham University Press: Nottingham*; U.K, 2003.
- [4] de Filippi, R.P. and Moses, J.M. Extraction of organics from aqueous solutions using critical-fluid carbon dioxide. *Biotechnol. Bioeng. Symp.*, January 1982; 12: 205–219.
- [5] Leeper, S.A., Wankat, P.C. Gasohol production by extraction of ethanol from water using gasoline as solvent. *Ind. Eng. Chem. Process Des. Dev.*, April 1982; 21(2): 331–334.
- [6] Errico, M. and Rong, B. Synthesis of new separation processes for bioethanol production by extractive distillation. *Sep. Purif. Technol.*, August 2012; 96: 58–67.
- [7] Rao, M.B. and Sircar, S. Production of motor fuel grade alcohol by concentration swing adsorption. *Sep. Sci. Technol.*, 1992; 27(14): 1875–1887.
- [8] Yamamoto, T., Kim, Y.H., Kim, B.C., Endo, A., Thongprachan, N. and Ohmori, T. Adsorption characteristics of zeolites for dehydration of ethanol: evaluation of diffusivity of water in porous structure. *Chem. Eng. J.*, 2012; 181–182: 443–448.
- [9] Delgado, J.A., Agueda, V.I., Uguina, M.A., Sotelo, J.L., Garcia, A., Brea, P. and Garcia-Sanz, A. Separation of ethanol–water liquid mixtures by adsorption on a polymeric resin Sepabeads 207. *Chemical Engineering Journal*, March 2013; 220: 89–97.
- [10] Ikegami, T., Yanagishita, H., Kitamoto, D., Negishi, H., Haraya, K. and Sano, T. Concentration of fermented ethanol by pervaporation using silicalite membranes coated with silicone rubber. *Desalination*, September 2002; 149: 49–54.
- [11] Verhoef, A., Figoli, A., Leen, B., Bettens, B., Drioli, E. and Van der Bruggen, B. Performance of a nanofiltration membrane for removal of ethanol from aqueous solutions by pervaporation. *Sep. Purif. Technol.*, April 2008; 60(1): 54–63.
- [12] Chovau, S., Gaykawad, S., Straathof, A.J.J., Van der Bruggen, B. Influence of fermentation by-products on the purification of ethanol from water using pervaporation. *Bioresource Technol.*, January 2011; 102(2): 1669–1674.
- [13] Ivanova, E. and Karsheva, M. Ethanol vapours adsorption by natural clinoptilolite. *J. Univ. Chem. Technol. Metall.*, 2007; 42(4): 391–398.
- [14] Jeong, J., Jeon, H., Ko, K., Chung, B. and Choi, G. Production of anhydrous ethanol using various PSA (Pressure Swing Adsorption) processes in pilot plant. *Renew. Energy*, June 2012; 42: 41–45.
- [15] Beery, K.E. and Ladisch, M.R. Adsorption of Water from Liquid-Phase Ethanol-water Mixtures at Room Temperature Using Starch-Based Adsorbents. *Ind. Eng. Chem. Res*, June 2001; 40: 2112–2115.
- [16] Chang, H., Yuan, X., Tian, H. and Zeng, A. Experiment and Prediction of Breakthrough Curves for Packed Bed Adsorption of Water Vapor on Cornmeal, *Chemical Engineering and Processing*, March 2006; 45: 747–754.
- [17] Breck, D.W. Zeolite Molecular Sieves: Structure Chemistry and Use. *Robert E. Krieger Publishing Company: Malabar*, Florida; U.S, 1984.
- [18] Carmo, M.J. and Gubulin, J.C. Ethanol-Water Adsorption on Commercial 3A Zeolites: Kinetic and Thermodynamic Data. *Brazilian Journal of Chemical Engineering*, September 1997; 14(3): 217–224.
- [19] Salem, M. and Shebil, B. Effect of heat of adsorption on the adsorptive drying of solvents at equilibrium in a packed bed of zeolite. *Chemical Engineering and Processing*, July 1999; 74: 197–204.
- [20] Vorayos, N., Kiatsiriroat, T. And Vorayos, N. Performance analysis of solar ethanol distillation. *Renewable Energy*, March 2006; 31: 2543–2554.

- [21] Meukam, P., Njomo, D., Gbane, A. And Toure, S. Experimental optimization of a solar still:application to alcohol distillation. *Chemical Engineering and Processing*, May 2004; 43: 1569–1577.
- [22] Tiwari, G.N., Singh, H.N. and Tripathi, R. Present status of solar distillation. *Solar Energy*, 2003; 75: 367-363.
- [23] Toure, S., Salami, H. And Pierre, M. Theoretical and experimental studies of a solar still type suitable for alcoholic distillation. *Renew Energy*, 1999; 16(1–4): 739–742.
- [24] Siangsukone, P., Jareanxit, J., Therdyothin, A., Tia, W., Wongwailikit, K. and Tiansuwan J. The Development of Solar Ethanol Distillation for Thai Local Community. *The 8th Asean Science and Technology Week Scientific and Technical Conferences*, 2008, Pasay City, Philippines.
- [25] Jareanxit, J., Siangsukone, P., Therdyothin, A., Tia, W., Wongwailikit, K. and Tiansuwan, J. Modification of Thai Local Brewery Tank for a Large Scale Solar Ethanol Distillation Plant. *International Workshop on Advanced Material for New and Renewable Energy*, Ancol, 2009, Jakarta, Indonesia.
- [26] อดิพงษ์ นันทพันธุ์ ทนงเกียรติ เกียรติศิริโรจน์ และ ณัฐาวดี ดุษฎี. การประยุกต์พลังงานในเตาอบแห้งสำหรับการลดความชื้นของอาหารสำหรับห้องเผาไฟฟ้า. วารสารวิศวกรรมศาสตร์ มหาวิทยาลัยเชียงใหม่, ฉบับที่ 13 (1), มกราคม-เมษายน 2549, หน้า 8-18.
- [27] อาทิตย์ เพียรจัน นเรศ มีโภ และ ศิริธร ศิริอมรพรรณ. การปรับปรุงประสิทธิภาพของโรงอบแห้งโดยใช้พลังงานแสงอาทิตย์ร่วมกับกระบวนการคัดซับความชื้นอาหารแห้ง. วารสารวิศวกรรมศาสตร์ มหาวิทยาลัยเชียงใหม่ ฉบับที่ 20(3), กันยายน-ธันวาคม 2556, หน้า 64-73.
- [28] Jareanxit, J., Boonyanuwat, S. and Tongchom S. Performance of Adsorbent Regeneration by Solar Dryer and Moisture Condensing Cabinet. *26th Conference of the Mechanical Engineering Network of Thailand (ME-NETT 26)*, 2012, Chiang Rai, Thailand. (In Thai).
- [29] Perry, R.H. and Grenn, D.W. *Perry's Chemical Engineers' Handbook*. McGraw-Hill: New York, 1984.
- [30] Duffie, J.A. and Beckman, W.A. *Solar Engineering of Thermal Processes*. John Wiley and Sons: New York, 1991.